

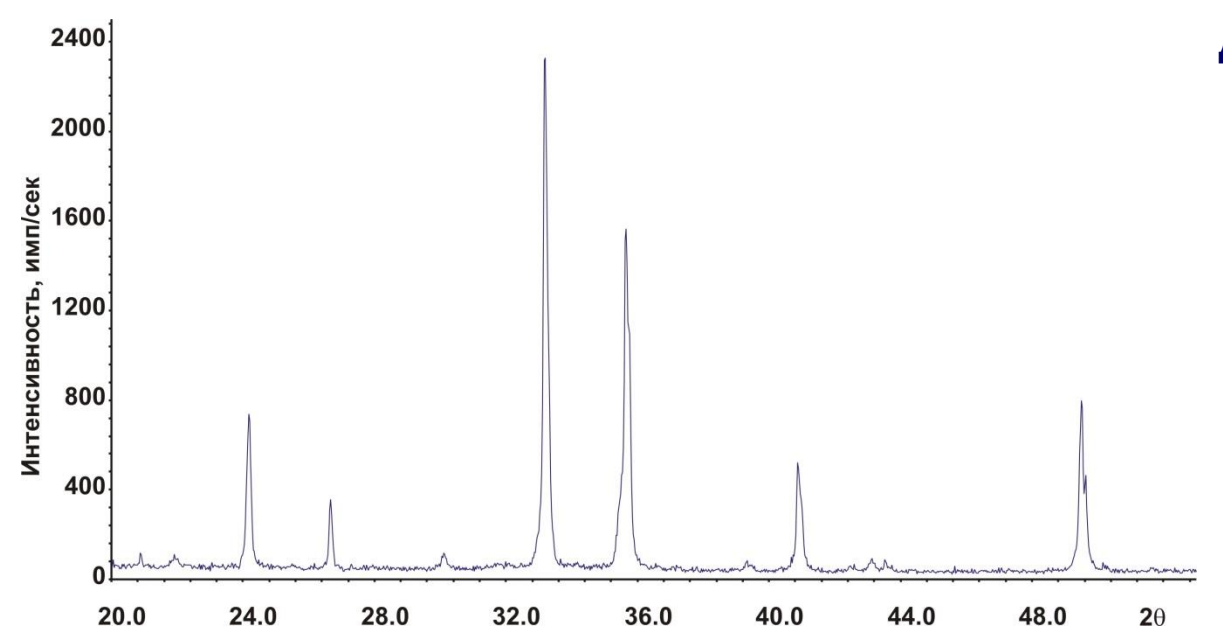
Лаборатория Неорганической Кристаллохимии Кафедра Неорганической Химии, Химический Факультет МГУ

Обработка дифрактограмм. Профильный анализ.

Содержание

- 1. Общий вид дифрактограммы.
- 2. Профильный анализ.

1. Общий вид дифрактограммы.

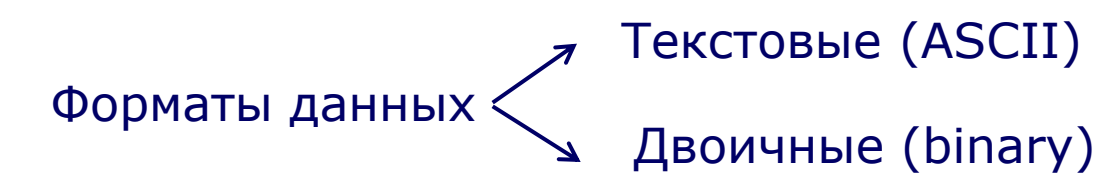


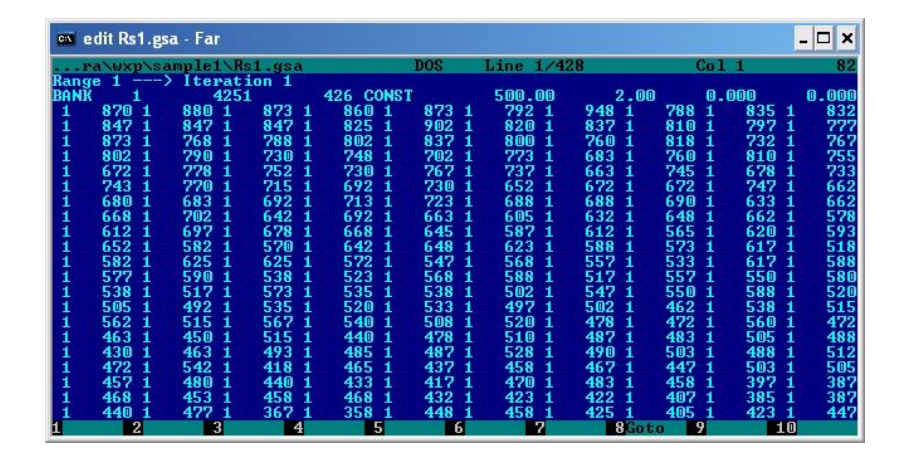
Определение положения и интенсивности дифракционных максимумов (рефлексов) — ключ к фазовому анализу, индицированию, подбору структурной модели и т.д.

Дифрактограмма: $I_{\text{exp}}(2\theta)$

I, имп/сек
64.48
58.92
86.71
54.47
380.21
638.69
738.74
705.39
511.4
361.31
31.13

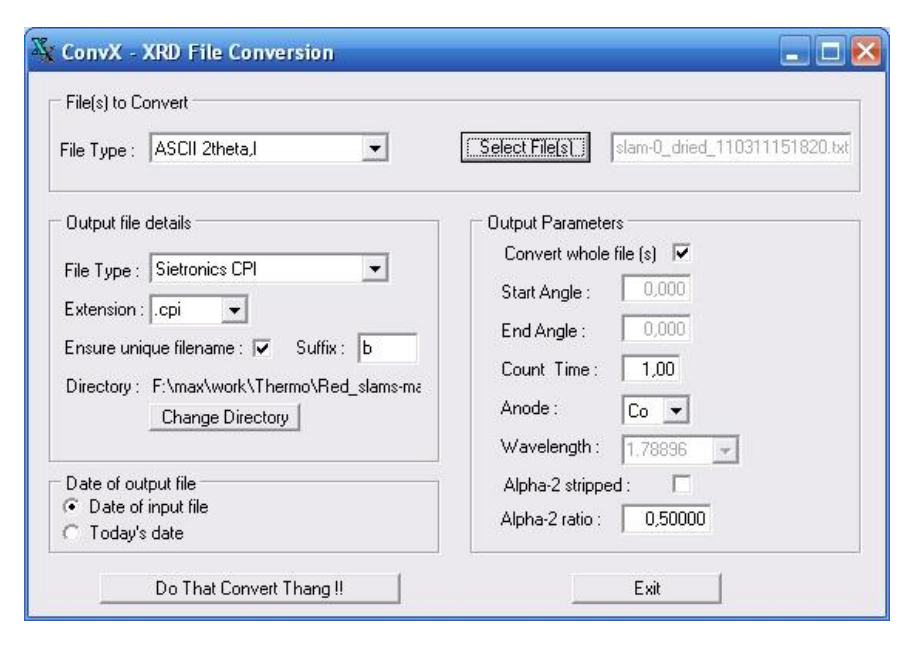
1.1 Форматы дифракционных данных. Конвертирование данных



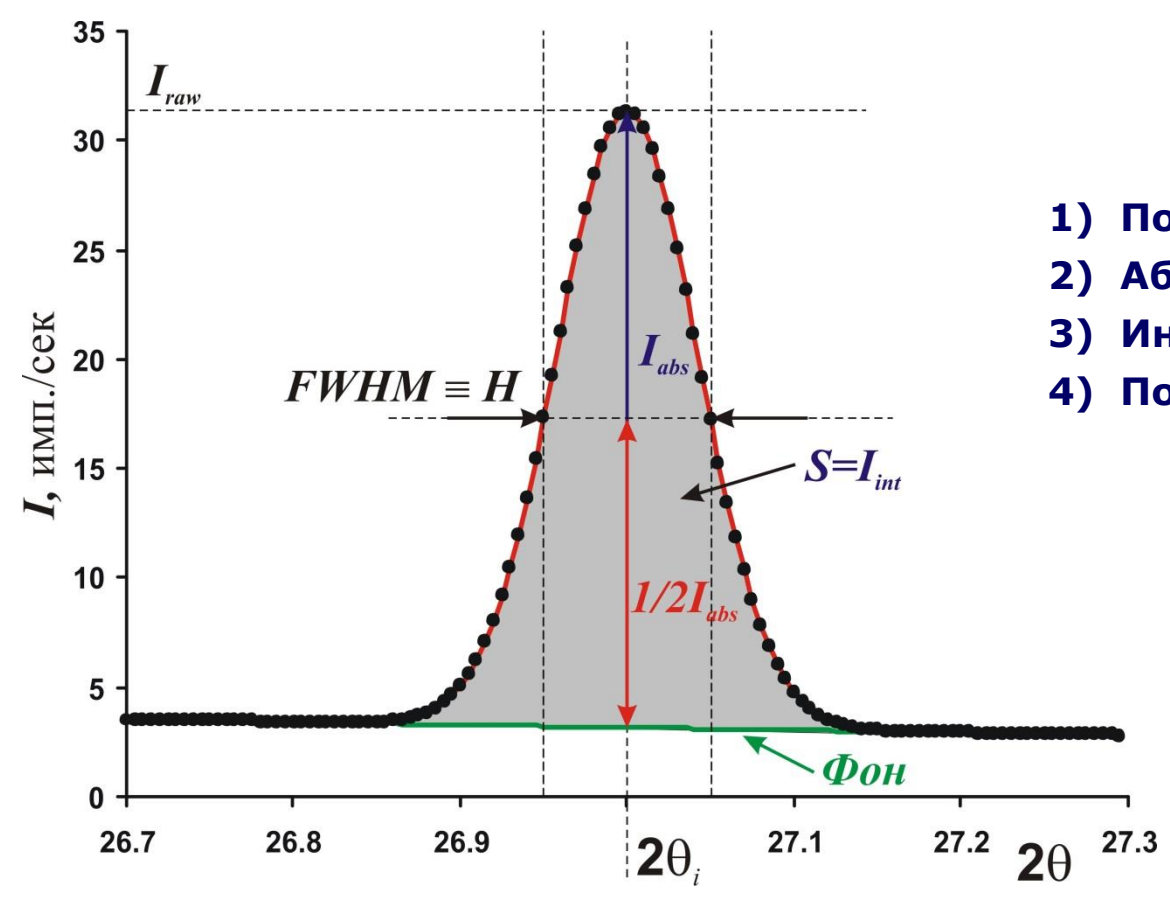


Стандартное ПО для конвертации форматов:

- Xfit
- Powder4
- PowdII...



1.2 Дифракционный максимум (рефлекс).



Как определить все эти параметры с высокой точностью?

Основные параметры рефлекса:

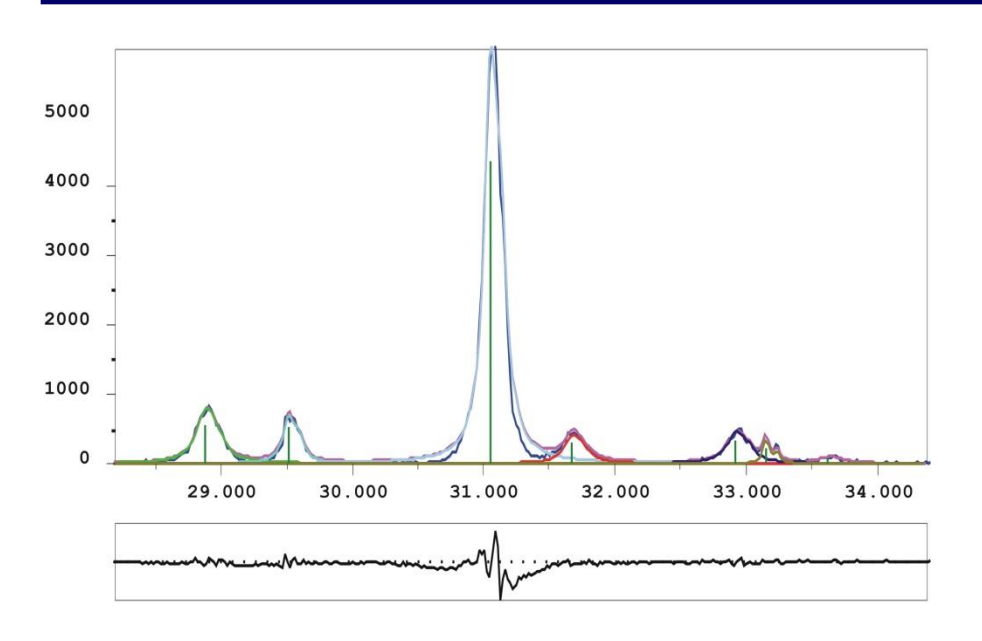
- Положение 2θ_i
- 2) Абсолютная интенсивность I_{abs}
- 3) Интегральная интенсивность $oldsymbol{I}_{int}$
- **4)** Полуширина *FWHM* (или *H*)

Положение рефлекса положение его центра тяжести!

$$2\theta_i \neq 2\theta(I_{\text{max}})!$$

$$2\theta_{i} = \frac{\int_{2\theta_{\text{min}}}^{2\theta_{\text{max}}} I(2\theta) \times 2\theta \times d(2\theta)}{\int_{2\theta_{\text{min}}}^{2\theta_{\text{max}}} I(2\theta) \times d(2\theta)}$$

2. Профильный анализ



Профильный анализ – определение положения и интенсивностей дифракционных максимумов (рефлексов)

Дифрактограмма: $I_{exp}(2\theta)$

Профильный анализ:

$$I_{theor}(2\theta) = B(\theta) + \sum_{i} P_{i}(2\theta_{i}, I_{i}, H_{i}, 2\theta)$$

Цель уточнения:

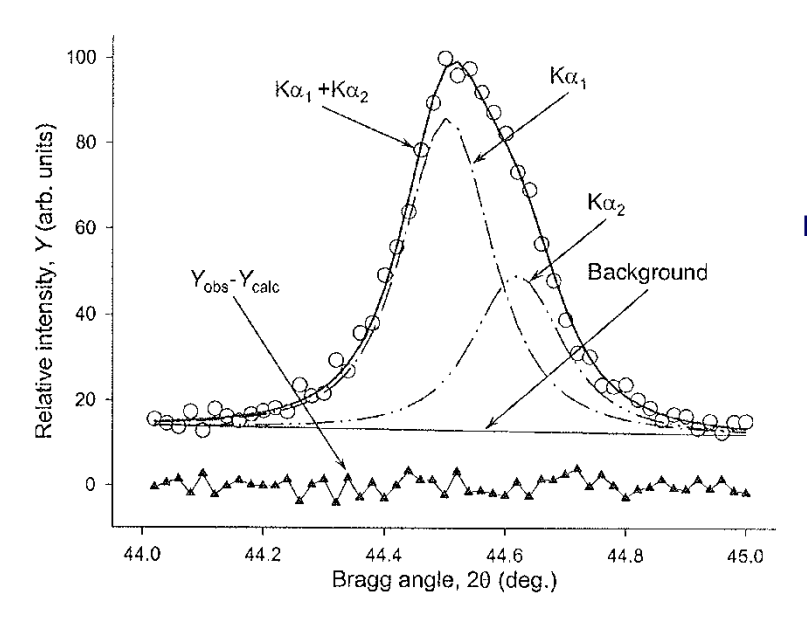
$$\min \Phi = \sum_{k=1}^{k=N} w_k \left(I_{\exp}^k - I_{theor}^k \right)^2$$

$$W_k = 1/I_{\rm exp}$$
 , k —номер точки

Уточняемые параметры:

- Функция фона *B*(20) полином
- Вид профильной функции *P*(20-20_i, *H*, *I*)
- Положение $2\theta_i$ для каждого рефлекса i
- Полуширина *FWHM*_і для каждого рефлекса *i*
- ullet Интенсивность $oldsymbol{I_i}$ для каждого рефлекса $oldsymbol{i}$

2.1 Профильный анализ. Форма рефлекса.



Форма рефлекса может быть описана строго:

$$PSF(2\theta) = \Omega(2\theta) \otimes \Lambda(2\theta) \otimes \Psi(2\theta) + B(2\theta)$$
где:

- PSF Peak Shape Function
- B(20) функция фона
- $\Omega(2\theta)$ Инструментальная функция
- $\Lambda(2\theta)$ Спектр источника (например $K\alpha_{1+2}$)
- $\Psi(2\theta)$ Функция образца

Обычно для исключения процедуры свертки используют аппроксимирующие аналитические функции:

- Функция Гаусса
- Функция Лоренца
- Функция Войта (псевдо-Войт)
- Функция Пирсона

Обычно профильные функции нормированы на 1, тогда:

$$P_i(I_i, H_i, 2\theta_i, 2\theta) = I_i \times P(H_i, x), x = \frac{2\theta - 2\theta_i}{H_i} \Rightarrow \int_{-\infty}^{+\infty} P(H_i, x) dx = 1, \int_{-\infty}^{+\infty} P_i(H_i, x) dx = I_i$$

Отсюда интенсивность рефлекса = площадь рефлекса.

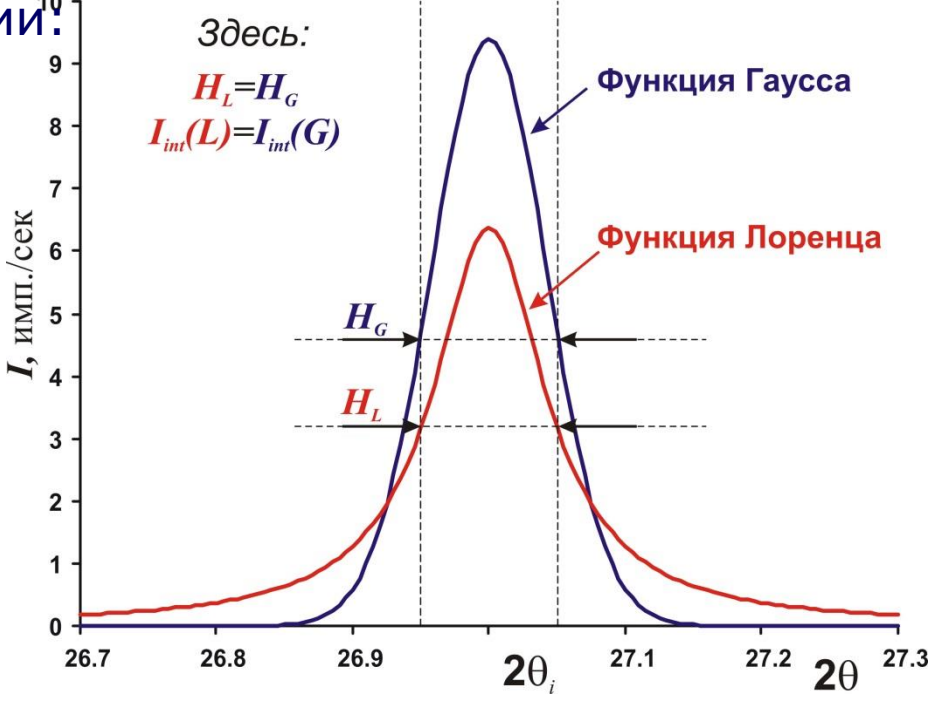
Базовые аппроксимирующие функции!:

Функция Гаусса:

$$G(x) = \frac{C_G}{\sqrt{\pi}H} \exp\left(-C_G x^2\right), C_G = 4 \ln 2 \sum_{k=5}^{7} \frac{1}{6}$$
Функция Лоренца:

Функция Лоренца:

$$L(x) = \frac{C_L^{1/2}}{\pi H} (1 + C_L x^2)^{-1}, C_L = 4$$



«Хвосты» L(x) намного «длиннее»!

Зачастую необходимо использовать промежуточные функции:

Функция Войта (псевдо-Войт, PV):

$$PV(x) = \eta G(x) + (1 - \eta)L(x), \eta = 0 - 1$$

Функция Пирсона (Pearson VII):

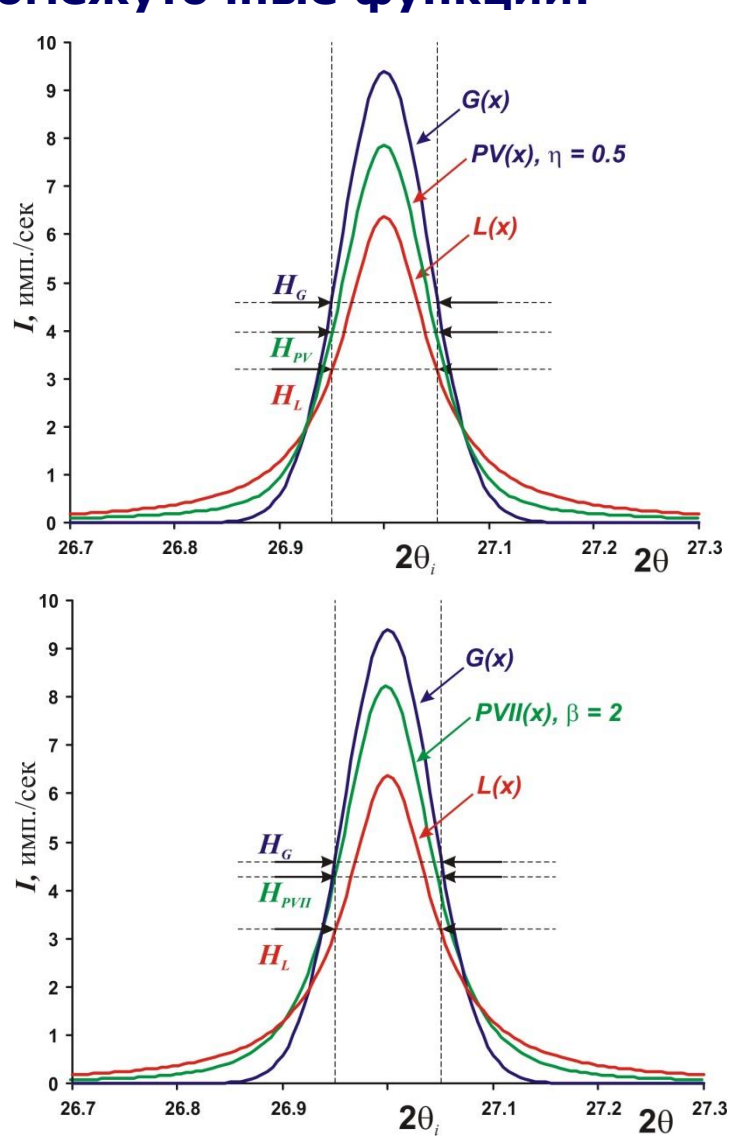
$$PVII(x) = \frac{\Gamma(\beta)}{\Gamma(\beta - 1/2)} \frac{C_P^{1/2}}{\sqrt{\pi}H} \left(1 + C_P x^2\right)^{-\beta},$$

$$C_P = 4(2^{1/\beta} - 1), \beta = 1 - \infty$$

При этом:

$$PVII(x) \equiv L(x), \beta = 1$$

$$PVII(x) \rightarrow G(x), \beta \rightarrow \infty$$



Рефлексы обычно асимметричны (до $\sim 30^{\circ}2\theta$):

Простейший метод учета асимметрии:

$$P_{asym} = P \times \left(1 - \alpha \frac{x \times |x|}{\tan \theta}\right)$$
 или несколько более сложный метод FCJ (Finger-Cox-Jephcoat)

Split-PVII(x): учет асимметрии рефлекса:

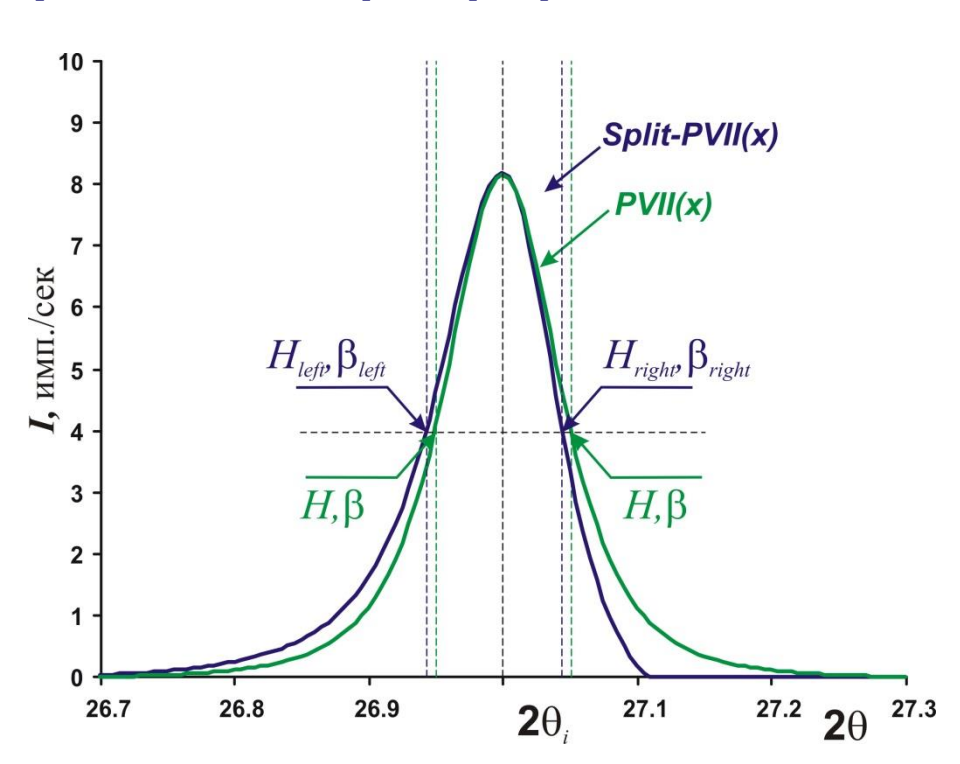
Для правой и левой частей пика отдельно уточняются:

H_{left} и H_{right}

Обычно:

$$β$$
_{left} ν $β$ _{right} H _{left} > H _{right}, $β$ _{left} < $β$ _{right}

Уточнение асимметрии (Split-PVII) возможно и необходимо для сильных рефлексов с 2θ < 30°



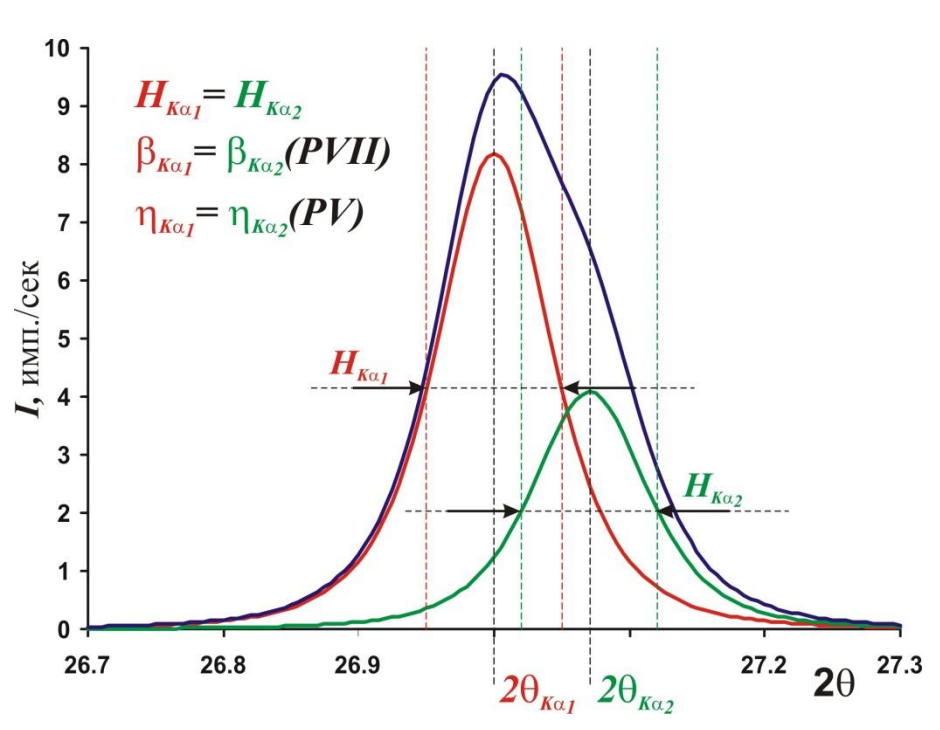
При работе с полихроматическим излучением профильная функция усложняется:

$$P_i(I_i, H_i, 2\theta_i, 2\theta) = I_i \times (P(H_i, x^{\alpha 1}) + 0.498P(H_i, x^{\alpha 2})), K\alpha_2 / K\alpha_1 = 0.498$$

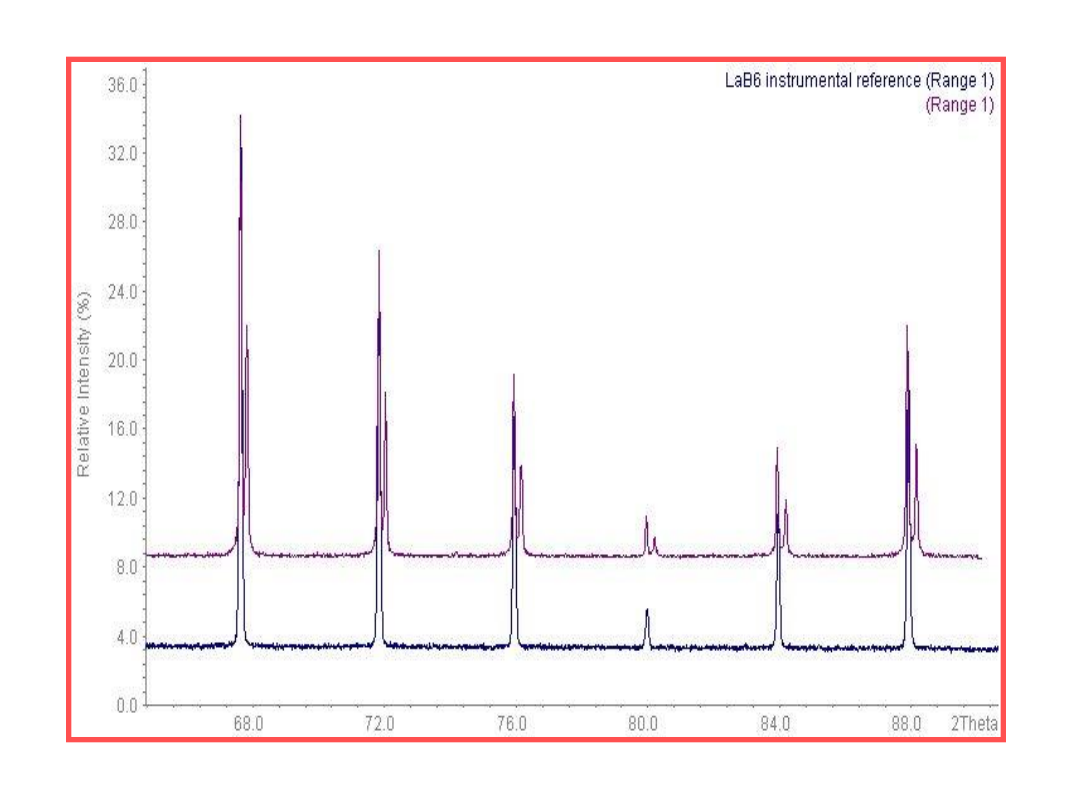
При этом положения рефлексов связаны друг с другом:

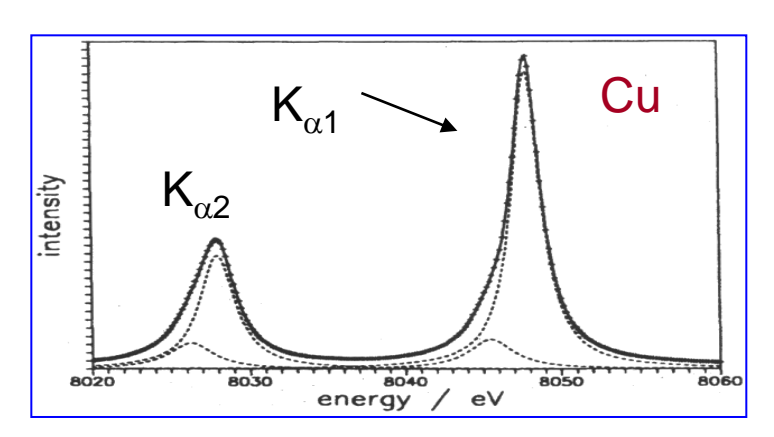
$$\frac{\sin \theta_{\alpha 1}}{\sin \theta_{\alpha 2}} = \frac{\lambda_1}{\lambda_2} = \frac{1.5406A}{1.5443A} = 0.9976$$

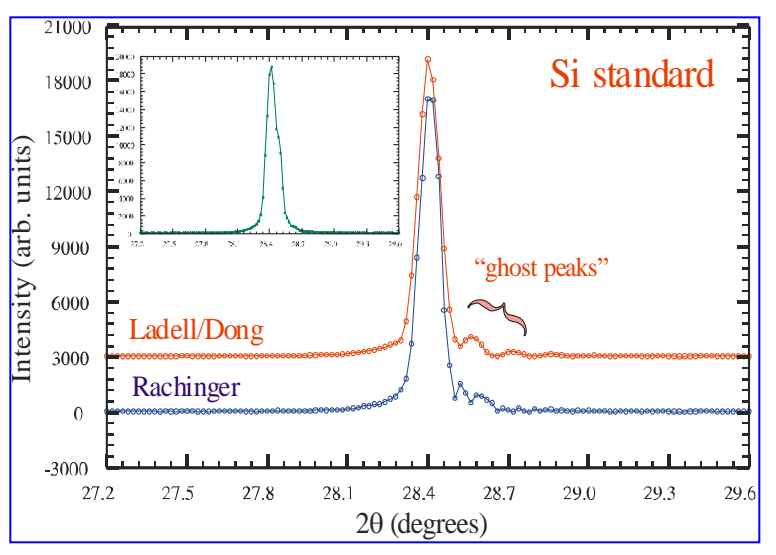
Обычно в программах для профильного анализа имеется возможность уточнения для полихроматического излучения (например, опция Fit $K\alpha_2$ в WinXPow)



Другая возможность: " α_2 -stripping" математическое «удаление второго пика»







Полуширины рефлексов и параметры, связанные с формой могут уточняться в виде угловой зависимости:

$$H_G = \sqrt{W + V \tan \theta + U \tan^2 \theta}$$

$$H_L = \frac{LX}{\cos\theta} + LY \tan\theta$$

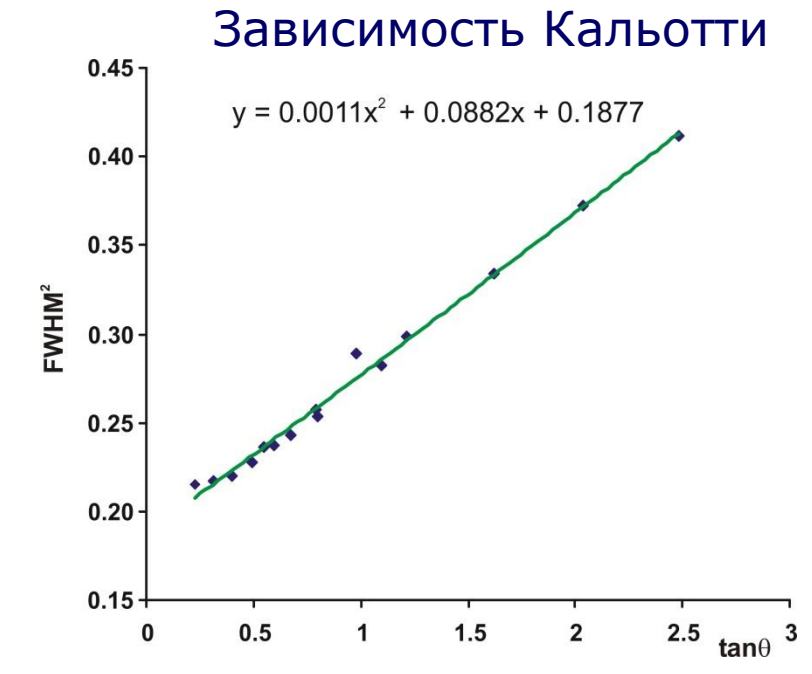
Для функции PV:

$$\eta = \eta_0 + \eta_1(2\theta) + \eta_2(2\theta)^2$$

Для функции PVII:

$$H_{PVII} = \sqrt{W + V \tan \theta + U \tan^2 \theta}$$

$$\beta = \beta_0 + \frac{\beta_1}{2\theta} + \frac{\beta_2}{(2\theta)^2}$$

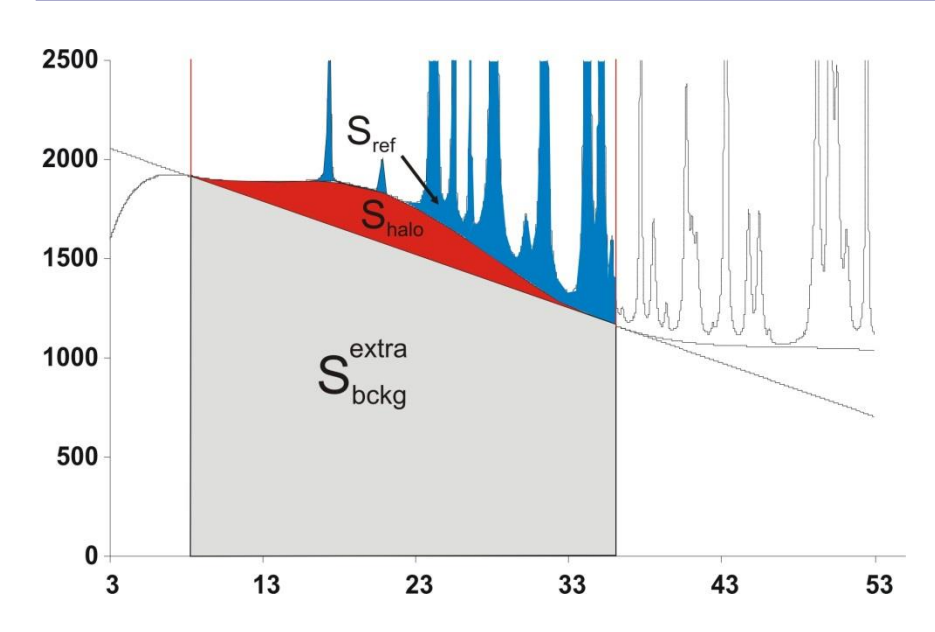


Обычно при использовании PV принимают: $H = f(H_G, H_I)$

$$H = J(H_G, H_L)$$
$$\eta = f(H_G, H_L)$$

В WinXPow - H уточняется по Кальотти для группы рефлексов (или отдельно для каждого рефлекса), η уточняется без угловой зависимости для группы рефлексов.

2.3 Уточнение фона



Как определить необходимость/ достаточность степени *n*?

- 1. Фоновая кривая не описывает рефлексы [©]
 - 2. Все коэффициенты, кроме последнего, > 3s.
- 3. Последний, очевидно, при этом лишний.

Фон обычно уточняют в виде гладкого полинома степени n

Варианты полиномиальных функций:

- Обычный полином $(a_0 + a_1 \tan \theta + ...)$
- Полиномы Чебышева
- Полиномы Лежандра
- Cos-GSAS полиномы
- Все они хороши (особенно для простого фона).

В WinXPow – полиномы Чебышева и простые степенные. Число коэффицентов 1 – 10.

2.4 Нелинейный МНК.

N - число точек на дифрактограмме

$$I_{calc}^{1}(B, k, P...) = I_{exp}^{1}$$
 $I_{calc}^{2}(B, k, P...) = I_{exp}^{2}$
...
 $I_{calc}^{N}(B, k, P...) = I_{exp}^{N}$

Расчет приращений:

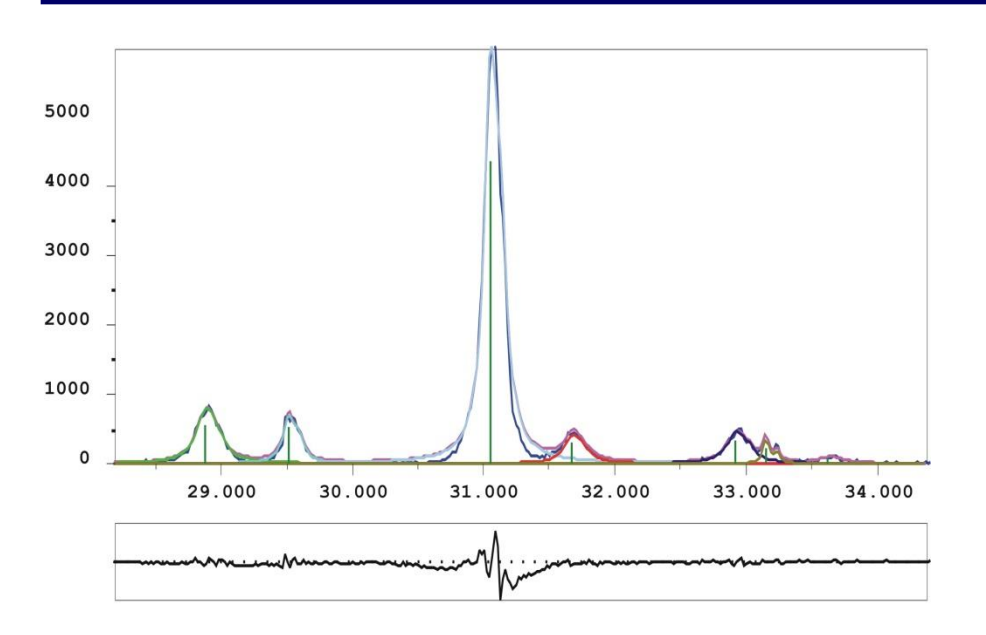
$$\mathbf{\Delta x} = (\mathbf{A^TWA})^{-1}(\mathbf{A^TWy})$$
 Новые значения **A, у**

 $\frac{\partial I_{calc}^{1}(B)}{\partial B} \Delta B + \frac{\partial I_{calc}^{1}(k)}{\partial k} \Delta k + \dots = I_{exp}^{1} - I_{calc}^{1}(B, k, \dots)$ $\frac{\partial I_{calc}^{2}(B)}{\partial B} \Delta B + \frac{\partial I_{calc}^{2}(k)}{\partial k} \Delta k + \dots = I_{exp}^{2} - I_{calc}^{2}(B, k, \dots)$... $\frac{\partial I_{calc}^{N}(B)}{\partial B} \Delta B + \frac{\partial I_{calc}^{N}(k)}{\partial k} \Delta k + \dots = I_{exp}^{N} - I_{calc}^{N}(B, k, \dots)$ $\frac{\partial I_{calc}^{N}(B)}{\partial B} \Delta B + \frac{\partial I_{calc}^{N}(k)}{\partial k} \Delta k + \dots = I_{exp}^{N} - I_{calc}^{N}(B, k, \dots)$

Задача линеаризуется, но зачастую нестабильна из-за корреляций!

Иные методы решения вариационной задачи (Genesis, Maximal Enthropy) – нормальная практика в профильном анализе

2.5 Критерии качества анализа



Наилучшая оценка качества уточнения

- по виду разностной дифрактограммы!

Критерии качества

$$R_{P} = \frac{\displaystyle\sum_{i} \left| I_{meop} - I_{_{\mathfrak{I}KCN}} \right|}{\displaystyle\sum_{i} I_{_{\mathfrak{I}KCN}}}$$

$$R_{wP} = \left[\frac{\sum_{i} w_{i} (I_{meop} - I_{skcn})^{2}}{\sum_{i} w_{i} (I_{skcn})^{2}}\right]^{\frac{1}{2}}$$

$$\chi^{2} = \frac{\sum_{i} w_{i} \left(I_{meop} - I_{\Re cn}\right)^{2}}{n - p}$$

(n - число точек, p - число уточняемых параметров)

Для качественной рентгенограммы $R_{\rm P} \sim 1-3~\%,~\chi^2=0.8-2$

2.6 Некоторые практические аспекты.

1. Оптимальный выбор профильный функции зависит от типа дифрактометра.

Обычный выбор: PV или PVIII для сильных рефлексов, L для слабых.

2. При нестабильности задачи:

Уменьшайте область уточнения.

По очереди фиксируйте переменные

Разбивайте рефлексы на группы

Уточняйте полуширину с угловой зависимостью (аккуратно!)

Проверьте фон!

- 3. Не всегда, но часто правильное число рефлексов в широком максимуме = лучшая сходимость
- 4. Асимметрию на первых этапах не уточняйте.
- 5. Лучший критерий качества анализа разностная дифрактограмма.

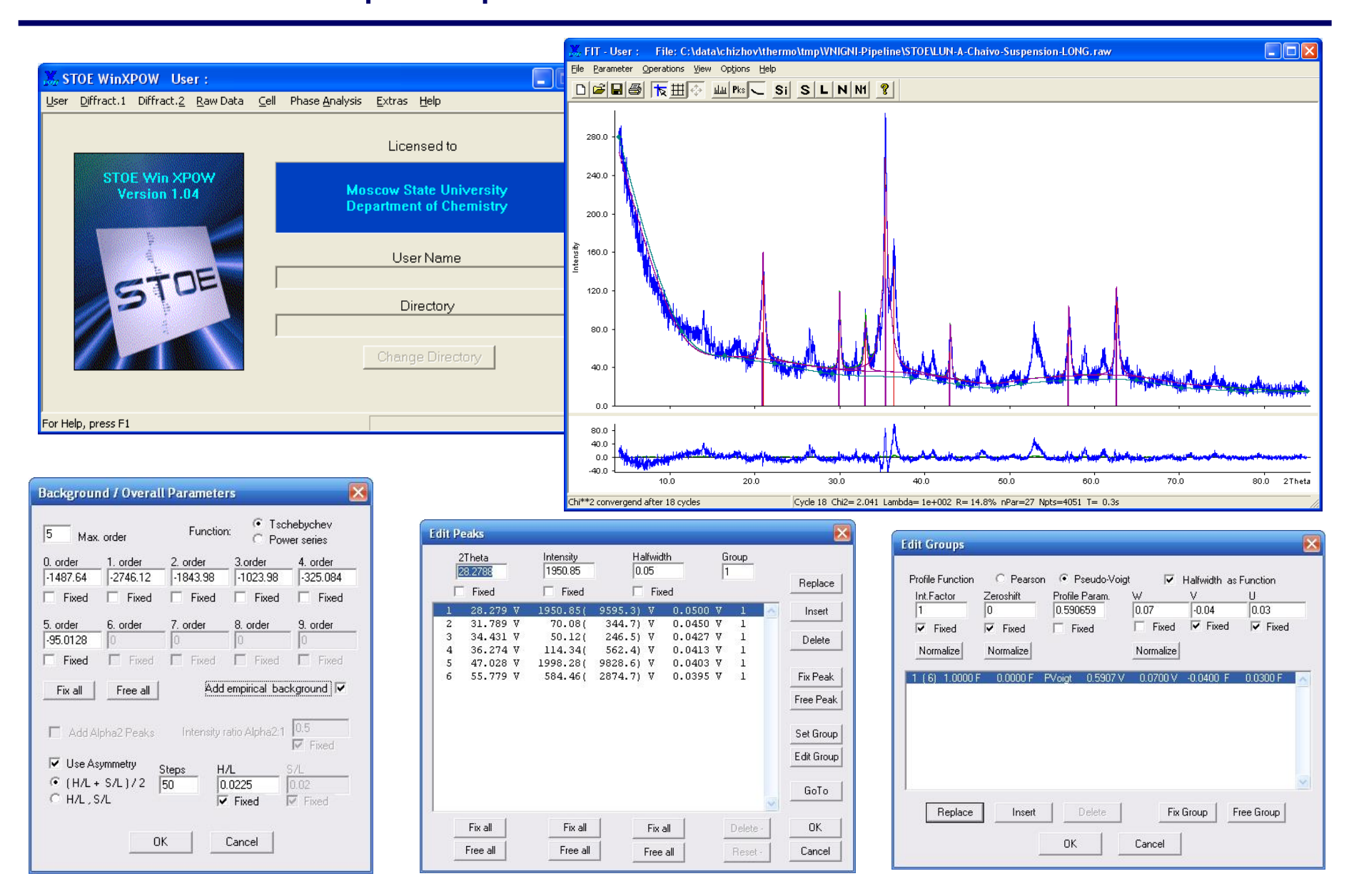
2.6 Некоторые практические аспекты.

Результат профильного анализа (файл *.pft в WinXPow)

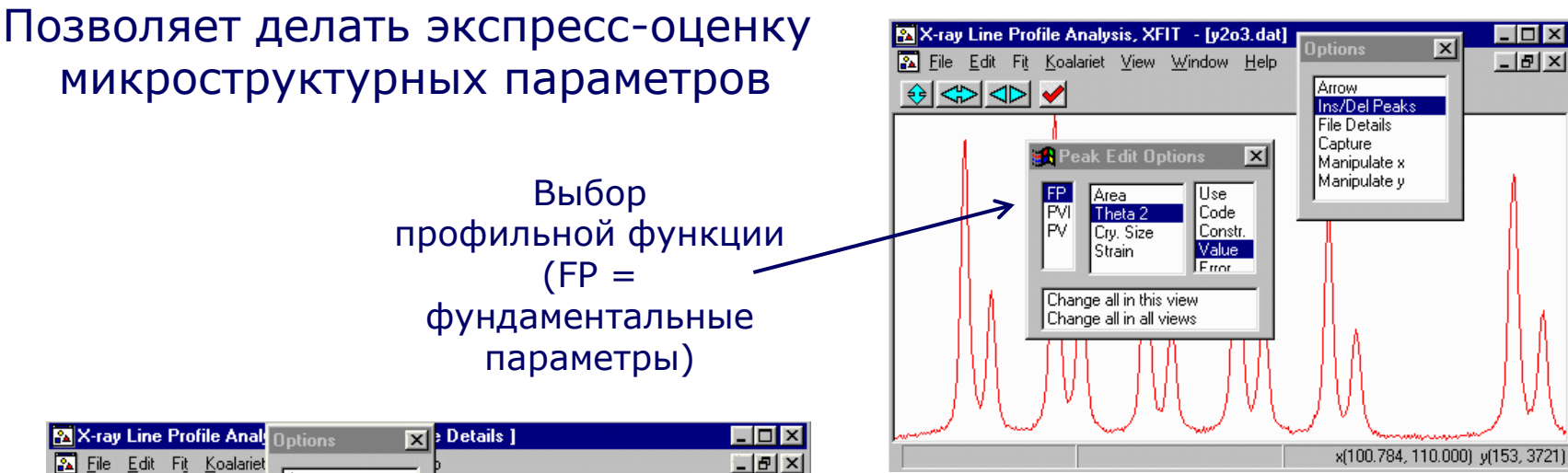
! D	2Theta	I(rel)	I(abs)	I(int)	FWHM	Н	K	L	
14.248472	6.1981	3.04	33	7.68	0.1781	0	1	0	
9.814859	9.0027	6.16	66	14.78	0.1694	1	0	0	
9.587812	9.2164	2.66	28	6.36	0.1688	1	1	0	
7.140107	12.3866	4.38	47	9.89	0.1596	-1	1	0	М
5.121028	17.3024	24.07	258	50.16	0.1472	-1	-1	1	
4.758203	18.6331	25.94	278	52.98	0.1443	0	1	1	
3.736961	23.7913	68.18	729	130.34	0.1350	0	-3	1	

- 1. Межплоскостное расстояние
- 2. Угол 20
- 3. Относительная интенсивность (%)
- 4. Абсолютная интенсивность (в максимуме, за вычетом фона)
- 5. Интегральная интенсивность
- 6. Полуширина
- 7. Индексы *h,k,l* − после индицирования ©

Пример 1: комплекс STOE WinXPow



Пример 2: программа Xfit



Arrow Ins/Del Peaks Assign LAM fo Manipulate x Area, All Pk Manipulate y Two Theta, Al Fundamental P Options Use Values Create TXT Report Codes Constraints Errors +Split Pearson VII Change Selections To +Pseudo Voigt .01 Cr.Size File Peak Area Th2 Strain v2o3.dat FP 344.5000 101.751 500000 0.010 FP 361.2000 102.9946 500000 0.010 FP 271.4000 104.2111 0.010 500000 FP 343.3000 105.4810 500000 0.010 FP 251.0000 106.724 0.010 500000 308.0000 109.2896 500000 0.010 x(108,784, 110.000) y(153, 3721).

http://www.ccp14.ac.uk/tutorial/xfit-95/xfit.htm

Conclusion + a piece of advice

Самое важное в профильном анализе – практический опыт.

